

京都大学原子炉実験所 正員 福井正美

I. 概説

天然の土壤中には質量数が $4n$, $4n+2$ および $4n+3$ の崩壊系列に属するトリウム, ランiumおよびアクチニウム系列核種の他に, これらの系列に属さない ^{40}K , ^{87}Rb など多くの放射性核種が存在している。そして地中から放出される放射線には存在量および線エネルギーの大きさから ^{40}K の占める比率が大きい。他方, ランium系列およびトリウム系列に属す ^{222}Rn (ラドン)および ^{224}Rn (トロン)は化学的に不活性であるため, それらの親核種である土壤中の ^{226}Ra および ^{224}Ra から崩壊により生成され後は地下水中に溶解し, 流動する。さらに Rn が不活性ガスであることから, その一部は大気中へ希散し, そのため雨水, 湖沼水, 海水および春流水など大気と直接的に接触している水中の Rn 濃度は地下水中濃度に比べて一般的に低い。以上のことから地下水中の Rn 濃度の時間的および空間的分布を測定することにより地層の状況, 雨水や春流水と地下水との混合状態などに関する知見の一部が得られるものと考えられる。従って, ここでは京都大学原子炉実験所の敷地内において高中性子束炉を増設するために行なった地盤調査用ボーリング孔の地下水を採取し, Rn 濃度を測定した結果について報告する。

II. 調査地の地形, 地層および地下水位の概要

調査地は領家花崗岩類を基盤とする層に第三紀後半鮮新統から第四紀前半の洪積統にかけて堆積した大阪層群と呼ばれる地層であり, これは大阪府岸南郡に位置している。採水地点であるNo.1～10のボーリング地点を記入した調査地域の地形概要をFig.1に掲げる。No.1～7は当初, 原子炉予定地をNo.3とした場合に試掘したものであり, No.8～10はそれをNo.5に変更した後に追加試掘したものである。地形は全般的に北東に向斜している丘陵地であるが, ボーリング7に沿る地質柱状図からは地層の傾斜はFig.2に示すように北西方向と推定される。ボーリング孔内の地下水位は通常1.5～12mの範囲内にあり, 各地点の年間変動幅はNo.2地点を除いて0.5～3m程度であった。No.2地点の水位変動は降雨現象との相関性が強く, 降雨後10m/週に及ぶこともあった。この原因はNo.2地点西側の約1000m²の凹地(湯地)に集水された雨水が局所的に浸透するものと考えられる。

III. 地下水の採取および水中 ^{222}Rn 濃度の測定法

地下水の採取は内径約10cmのボーリング孔内に挿入可能な採水器(容量約1.2l)を用いて1回/週の頻度で約6ヶ月間継続した。採取した地下水は1l用ポリエチレン容器に ^{222}Rn が希散しないようく溝水状態で密封して2～7日間静置, 保存した。そして, その上澄液1lを ^{222}Rn 濃度測定用試料水として用いた。

不活性ガスは一般的に水中よりも揮発性の有機溶媒層に分配され易い性質があるのでヒカルエン溶媒抽出法による ^{222}Rn の液体シンチレーション測定法が開発された。これはZnSを用いた水相から気相へ希散した ^{222}Rn ガスを測定する方法や, 直接

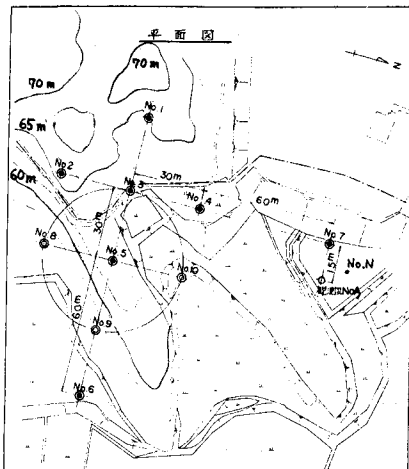


Fig. 1 地形概要および採水地点

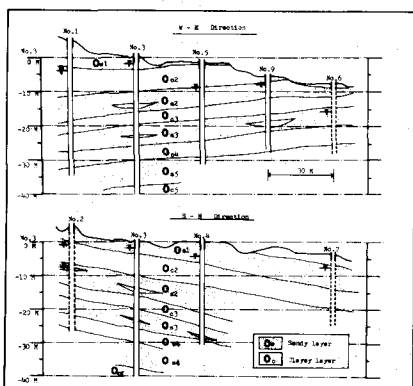


Fig. 2 地層断面想定図

的にガスクロマトグラフにより測定する方法に比べて検出感度が高い利点があり、本実験系では約 1 pCi/l までの水中 ^{222}Rn 濃度の測定が可能であった。一般的に本法に従う系での水中濃度は次式により求められる。

$$C_0 = \left(\frac{1}{D_T} \frac{V_a}{V_w} + \frac{V_T}{V_w} + \frac{D_w}{D_T} \right) C_T$$

ここで、 C_0 : 試料水中 ^{222}Rn 濃度 (10^{-10} Ci/l) , C_T : トルエン中の ^{222}Rn 濃度 (10^{-10} Ci/l) ,

D_T : 空気・トルエン系の ^{222}Rn の分配比 , D_w : 空気・水系の ^{222}Rn の分配比 ,

V_a : 分液ロート内空気容積 , V_T : 分液ロート内トルエン容積 , V_w : 試料水容積

本実験系では $V_a = 215 \text{ ml}$, $V_w = 1000 \text{ ml}$, $V_T = 30 \text{ ml}$ である。

IV. 結果および考察

1. 試料水中における放射性核種の同定

トルエンに抽出される放射性核種には化学的性状の類似したものすべてが含まれる可能性がある。そこで、抽出後、シンテレーター中の放射能濃度の減衰曲線を求めた。その結果、初期には富核種の生成により濃度は増加するが、数時間後には平衡状態が達成され、その後、3.5～3.8 日の ^{222}Rn の半減期に近い減衰曲線が得られ、 ^{220}Rn 等のトルエン中へ混入したと想定された。

2. 浅層地下水中 ^{222}Rn 濃度とその変動

Fig. 3 は No. 1, 2, 4, 5, 6 および 7 へ 6 地点における ^{222}Rn 濃度結果を示す。これらにおける No. 1, 4, 7 地点の濃度はほぼ $150 \sim 250 \text{ pCi/l}$ 程度であり、それらの濃度は No. 2 や No. 6 に比べて高く、且つその変動は小さい。そして No. 5 は最も濃度変動が小さく、No. 2 は最も濃度が低い。また、不定期に測定した No. 3 および No. 8 ～ 10 地点の濃度は No. 3 の No. 2 程度に低く (50 pCi/l 程度)、No. 8 ～ 10 は No. 5 地点の濃度とはほぼ類似しており、約 $100 \pm 20 \text{ pCi/l}$ 程度であった。以上のことから、地下水水面が通常 O_{s1} 砂層に現われている地点のうち No. 3 を除く No. 1, 4, 7 地点、 O_{s2} 砂層に現われている No. 5, 8 ～ 10 地点および O_{s3} 砂層に現われている No. 6 地点と、同一地層の地下水ごとに類似した濃度が示されていることが推定された。No. 2 地点の濃度が低く、且つその変動が大きいことは降雨による地下水位の変動が顕著に現われる地点であることを考慮すれば妥当な結果である。また No. 3 地点の濃度が低いことはその地盤に貯水池間の水路が設けられており、池水の浸透による影響や地下水位が最も深い地点 (約 1.5 m) であることから大気中への ^{222}Rn の希散効果が考えられる。

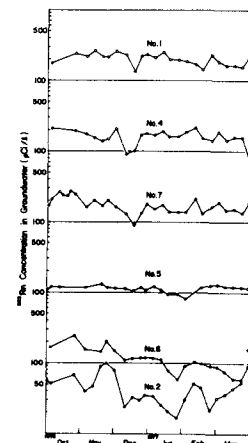


Fig. 3 ^{222}Rn 濃度

3. 浅層地下水中における ^{222}Rn 濃度の長期的変動

Fig. 4 には濃度測定の頻度を 1 ～ 2 回/日とした場合の結果を No. 7 地点 (地下水位約 5 m) と No. N 地点 (地下水位約 $1 \sim 1.5 \text{ m}$) につき掲げる。これによれば粘性土層が地下水位の上部に位置する No. 7 地点の濃度は表層まで砂質土層が被覆している No. N 地点に比べて数倍高いが、これは ^{222}Rn の大気中への希散効果が大きいためである。そして、 ^{222}Rn 濃度の変動は No. N が No. 7 に比べて大きいが降雨による濃度変化は必ずしも降雨量と一緒にしていらない。

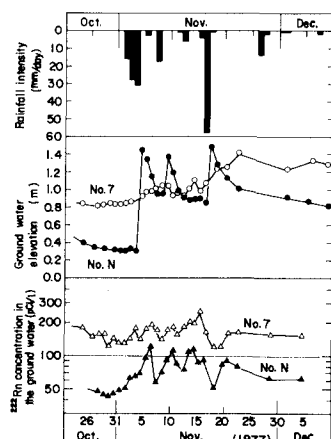


Fig. 4 ^{222}Rn 濃度日変動